### INRAO

> Résumé: les points importants du cours de Relaxométrie

### > Relaxation en RMN

- > Retour de l'aimantation à l'état d'équilibre après une excitation
- > Deux types de relaxation
  - $\Leftrightarrow$  Retour à l'état initial, relaxation transversale ou  $T_1$
  - ightharpoonup Perte de l'aimantation par déphasage du signal dans le plan, relaxation longitudinale ou  $T_2$



### > Relaxation transversale 71

Mesure indirecte par inversionrécupération

Relaxation delay period delay period delay period delay period inversion

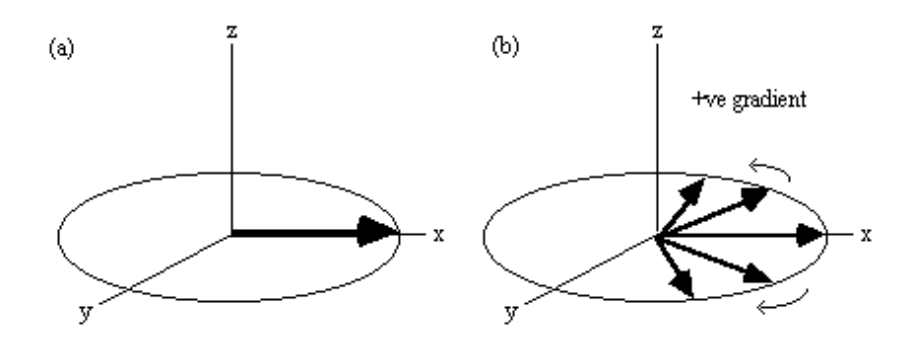
Mesure complète longue mais possibilité d'estimer rapidement T<sub>1</sub> à partir du point spécifique où le signal est nul

 $\succ$   $T_1$  critique pour mesure quantitative. Temps de  $5x T_1$  nécessaire avant de répéter l'expérience



# $\triangleright$ Relaxation transversale $T_2$

- > Relaxation due aux interactions entre les spins.
- Perte de signal dans le plan due au déphasage des spins
- $\succ$  Mesure du  $T_2$  grâce à l'écho de spin
- > T2 corrélé à la mobilité des molécules







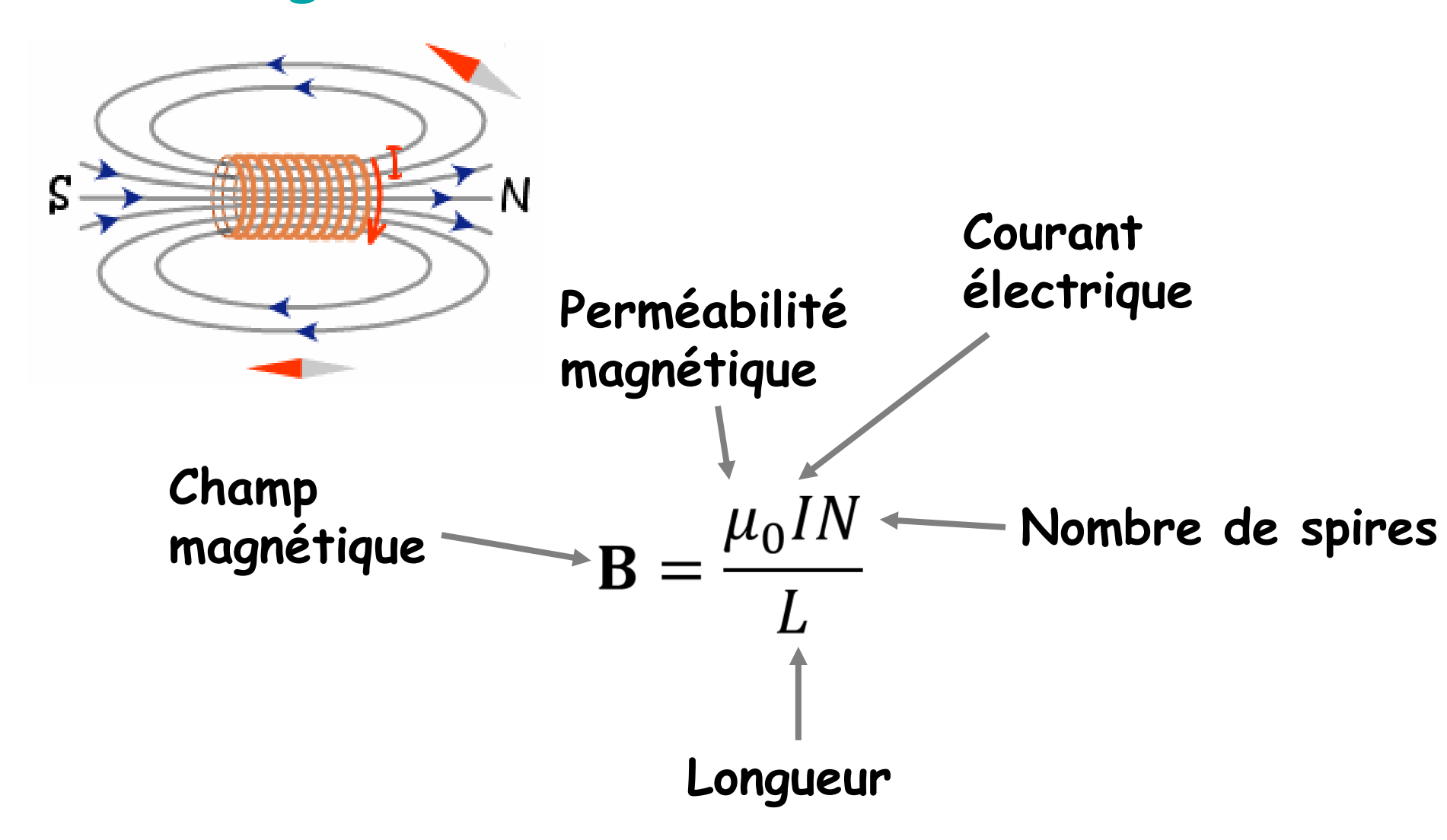
# > Instrumentation en RMN

Guilhem Pagés

# INRAO



# > Magnétisme et électricité





# > Quelques ordres de grandeurs

- > 1 Tesla (T) = 10 000 Gauss (G)
- $\succ$  Champ magnétique terrestre (B<sub>terre</sub>) B<sub>terre</sub> ~0,5 G
- > Aimants supraconducteurs
  - ❖ 1.5 T en clinique = 30 000 B<sub>terre</sub>
  - \* RMN « classique » 14 T= 280 000 B<sub>terre</sub>
  - $\clubsuit$  B<sub>0</sub> le plus élevé 28.2 T= 564 000 B<sub>terre</sub>



# > Comment générer B<sub>0</sub>

- > Aimants résistifs
  - \* Besoin de dissiper la chaleur
  - ❖ Valeurs de B<sub>0</sub> limitées (~2 T)
- > Aimants permanents
  - \* Pas cher
  - ♣ B<sub>0</sub> limité, aimants lourds
- > Aimants supraconducteurs
  - Liquides cryogéniques
  - ❖ B<sub>0</sub> élevés (IRM 11.7 T, RMN 28.2 T)



### Aimant RMN

### This 4.7 T (200 MHz) magnet was donated by Bruker BioSpin Ltd.

### Professional cutting by

Trevor Cheney (Design and Fabrication Services NRC)

#### Logistics by

Eric Curran (DFS NRC) Jamie Bennett (SIMS NRC)

#### **Outside Vacuum Chamber**

The outside shell of the magnet (1) is made of 3 mm stainless steel. The inside space (2) is filled with layers of aluminized Mylar insulation. During normal operation of the magnet this space is under high vacuum.

#### 3. Liquid Nitrogen Vessel

made of 3 mm aluminum. During normal operation this space is filled with liquid nitrogen (77K). (4) liquid nitrogen refill

#### 5. Radiation Shield

made of aluminum and is wrapped with layers of aluminum foil. During normal operation the radiation shield reaches a temperature near 20 K and is surrounded by high vacuum.

#### 6. Liquid Helium Vessel

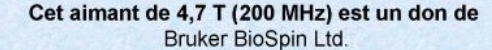
made of 2 mm stainless steel. (7) liquid helium refill. The copper bore tube and the superconducting solenoid (8) can be seen inside. The solenoid contains approximately ten km of superconducting wire made of a copper-clad niobiumtitanium alloy.

#### **Quench Resistors & Charging Port**

Quench resistors protect the magnet during a quench by dissipating the heat generated from energy stored in the energized magnet. (9) charging port

#### Superconducting Shims

Superconducting shims are wound on the outside of the solenoid. They are used to adjust the magnetic field gradients at the probe similar to the room temperature



### Coupage professionnel par

Trevor Cheney (Services de conception et de fabrication du CNRC)

#### Logistique par

Eric Curran (SCF-CNRC) Jamie Bennett (ISSM-CNRC)

#### Chambre à vide externe

La gaine externe de l'aimant (1) est faite d'acier inoxydable de 3 mm d'épaisseur. L'espace intérieur (2) est rempli de couches d'isolant au mylar aluminisé. On fait un vide poussé dans cet espace lors de l'utilisation normale de l'aimant.

#### 3. Cuve d'azote liquide

faite d'aluminium de 3 mm d'épaisseur. Cet espace est rempli d'azote liquide (77 K) lors de l'utilisation normale de l'appareil. (4) Remplissage d'azote liquide

#### 5. Écran contre les rayonnements

fait d'aluminium et enveloppé de couches d'aluminium en feuille. L'écran contre les rayonnements atteint une température de près de 20 K et est entouré d'un vide poussé pendant l'utilisation normale de l'appareil.

#### 6. Cuve d'hélium liquide

faite d'acier inoxydable de 2 mm d'épaisseur. (7) Remplissage d'hélium liquide. Le tube de cuivre et la bobine supraconductrice (8) sont visibles à l'intérieur. La bobine contient environ 10 km de fil supraconducteur fait d'un alliage de niobium-titane enrobé de cuivre.

#### Résistances d'extinction et port de charge

Les résistances d'extinction protègent l'aimant pendant l'extinction en dissipant la chaleur produite par l'énergie stockée dans l'aimant énergisé. (9) Port de chargement

#### Shims supraconductrices

Des pièces supraconductrices sont enroulées à l'extérieur de la bobine. Elles servent à régler les gradients du champ magnétique à la sonde, de manière semblable aux shims utilisées à la température de la pièce.



9

National Ultrahigh-Field NMR Facility for Solids Centre national de RMN à ultrahaut champ pour les solides

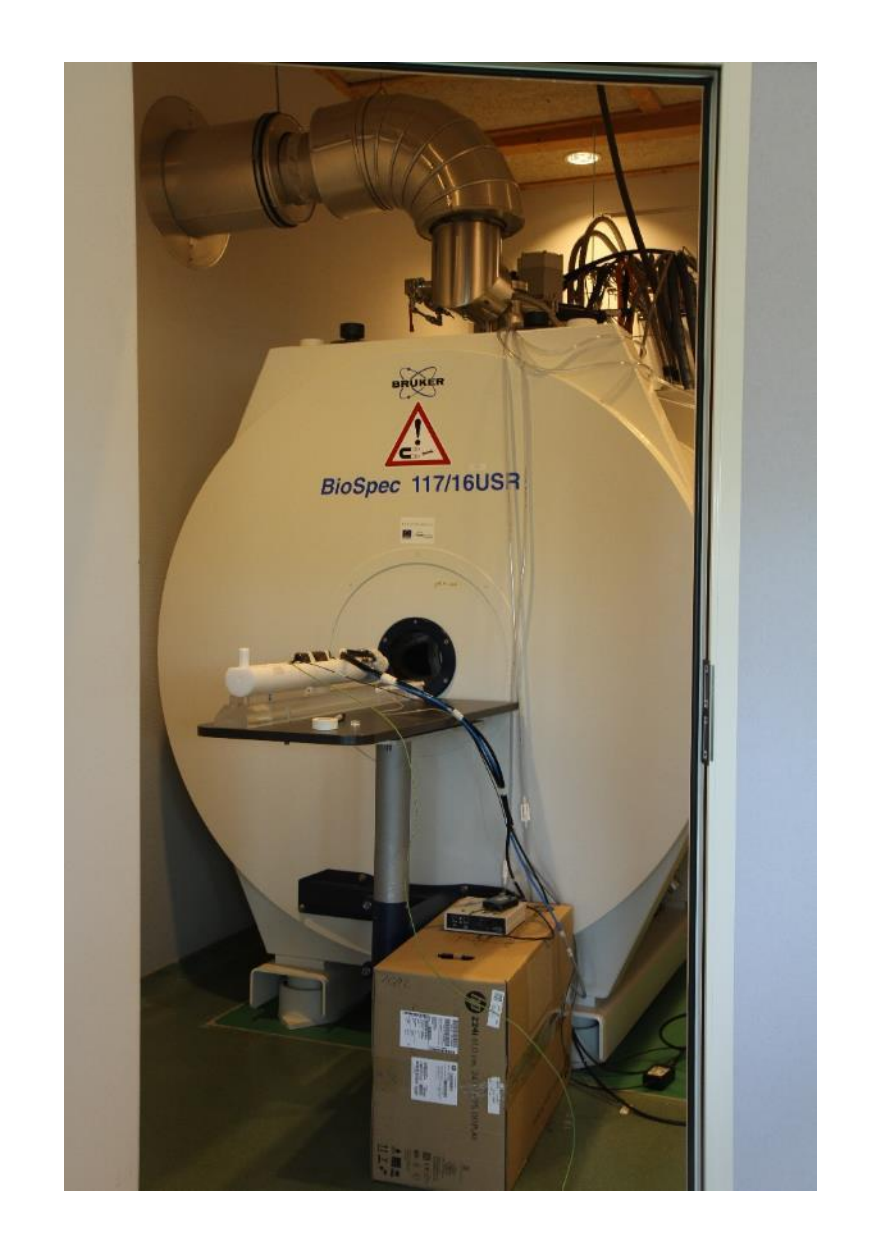
1

INRAe

Cours Instrumentation L3 2020/21 p. 10

### > Aimant IRM

Recondensation de l'He, par une tête froide





# > B<sub>0</sub> et fréquences de résonance

Fréquence de résonance dépend du rapport gyromagnétique g (rad.s<sup>-1</sup>.T<sup>-1</sup>)

Fréquence de résonance de quelques noyaux en fonction de l'intensité du champ magnétique B<sub>0</sub>

| Noyaux          | g<br>(x10 <sup>6</sup> ) | B <sub>0</sub> (T) |     |     |      |      |
|-----------------|--------------------------|--------------------|-----|-----|------|------|
|                 |                          | 4,7                | 7,0 | 9,4 | 11,7 | 23,5 |
| <sup>1</sup> H  | 267,5                    |                    |     |     |      |      |
| <sup>13</sup> C | 67,3                     |                    |     |     |      |      |
| 31 <b>p</b>     | 108,3                    |                    |     |     |      |      |



# > Homogénéité du champ magnétique

- > Résolution spectrale nécessaire
  - Dixième de ppm
  - Excellente homogénéité sur l'ensemble de l'échantillon
- > Shims passifs
  - \* Réglés lors de l'installation de l'aimant
- > Shims actifs
  - \* Réglés pour chaque échantillon



### > « Shimmer »

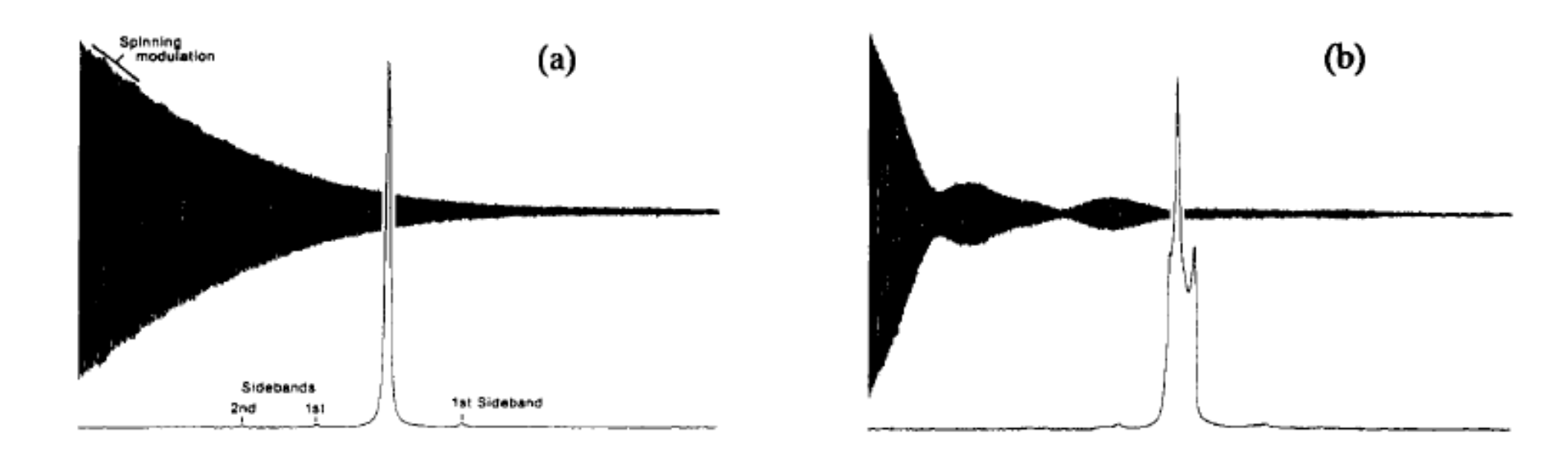
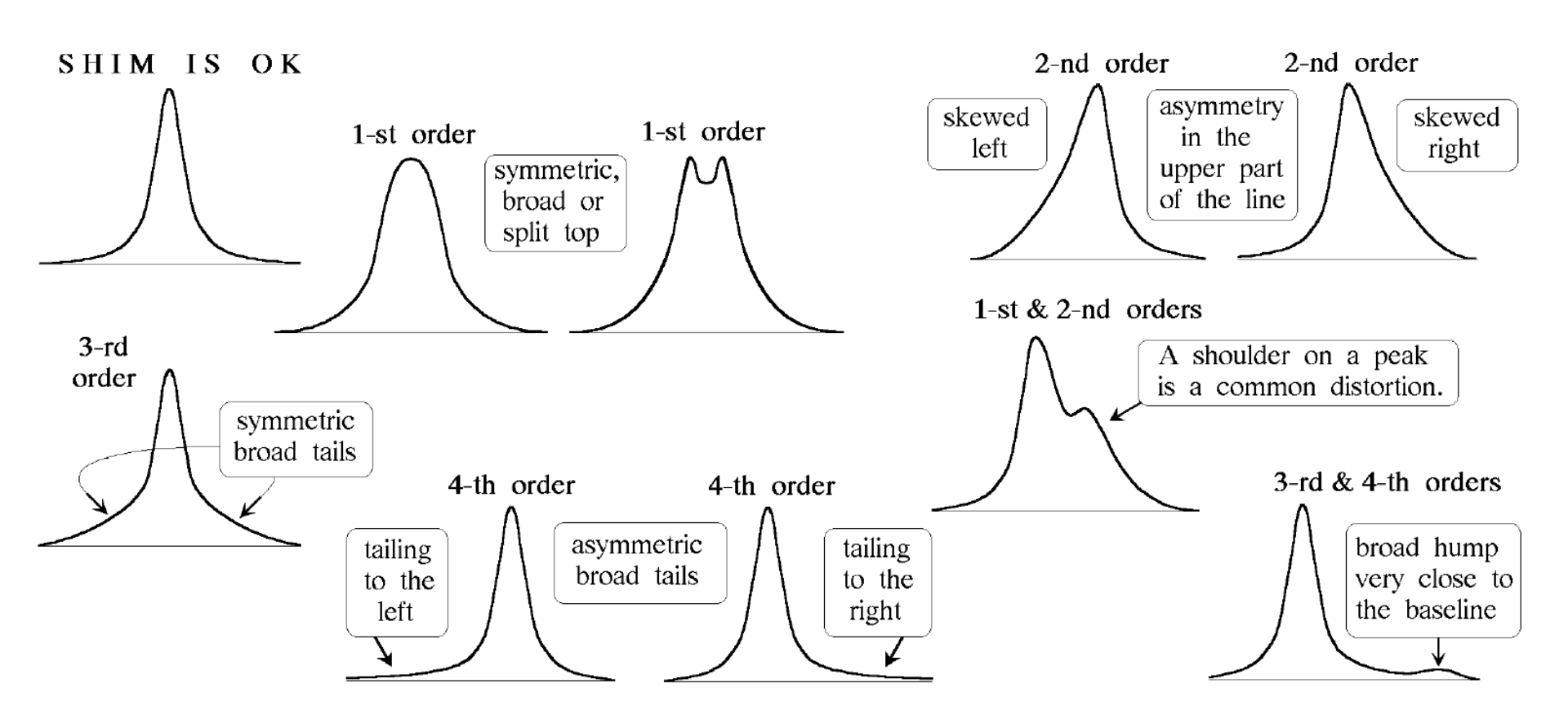


Figure 5. Effect, on our Instrument, of Offsetting the "z" Shim. A "good" FID and a spectrum with small spinning sidebands are shown (a), but when the "z" shim is changed (b), a characteristic beat in the FID is obtained, and the spectral line broadens and manifests structure that is an indicator of  $B_1$  inhomogeneity.

# The Ancient and Honourable Art of Shimming



### > « Shimmer »



### Shimming an NMR magnet, G.A. Pearson, 1993



# INRAO



### > Son rôle

- > Exciter les noyaux
  - Impulsions radiofréquences
- > Détecter le signal
  - Enregistrer le signal RMN (voltage oscillant) lors du retour à l'équilibre
- > Définir les conditions expérimentales
  - Température

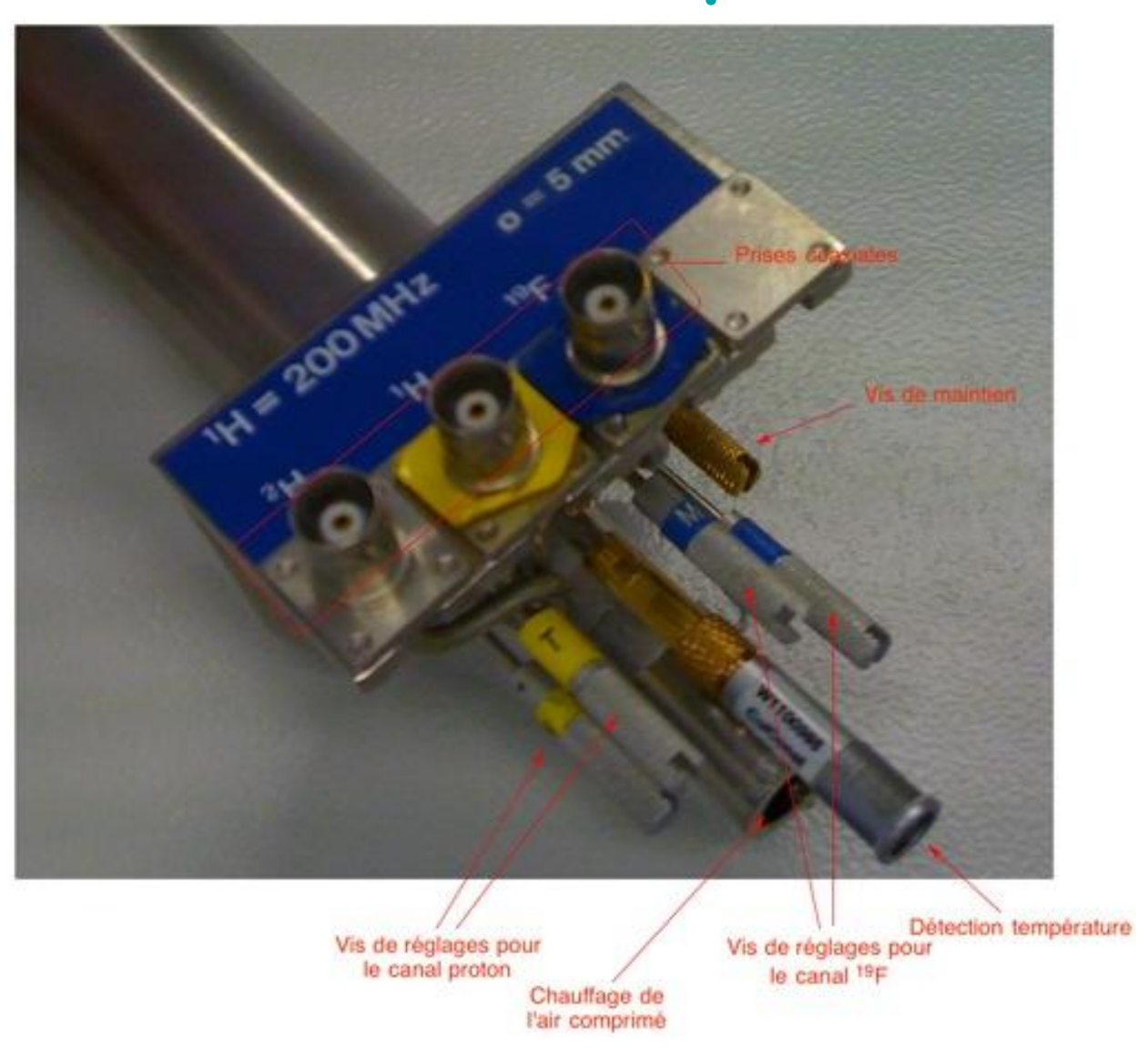


# > Une sonde RMN





# > Une sonde RMN du liquide





# > La bobine RF





# > Différents types de sondes

- > En fonction de l'utilisation prévue
  - ❖ Combien de canaux (2, 3 ou 4)
  - Noyaux X variables (BB) ou fixes
  - ❖ Meilleure sensibilité sur le canal ¹H ou X
- > Sondes refroidies
  - \* Diminue le bruit électronique
  - \* Refroidie à l'He ou l'N2 liquide

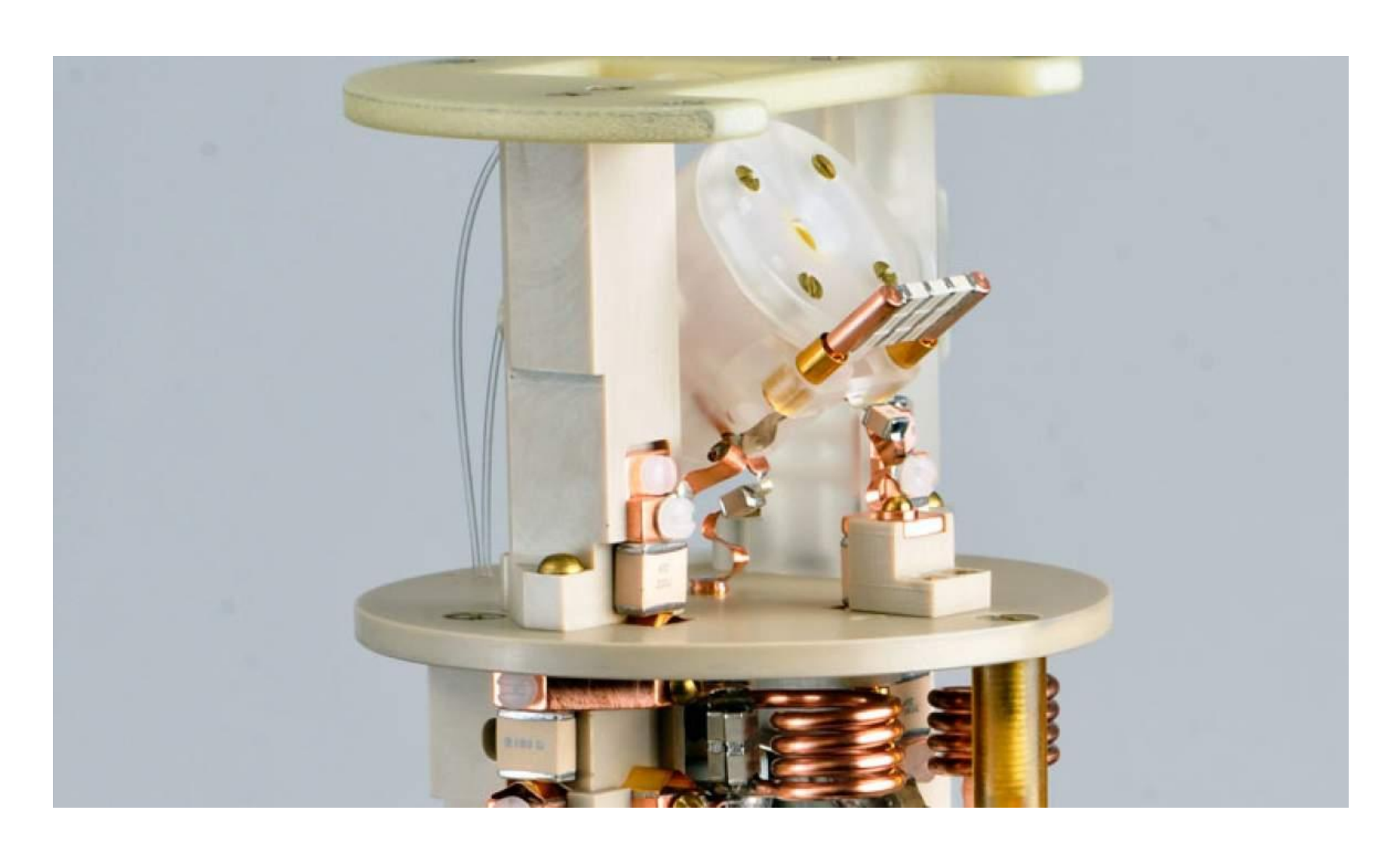


# > Différents types de sondes

- > Sondes spécifiques
  - Faibles volumes
  - Diffusion, flux
  - Faible/haute températures



# > Sondes RMN solide et HRMAS





### INRAO

> Les bobines de gradients

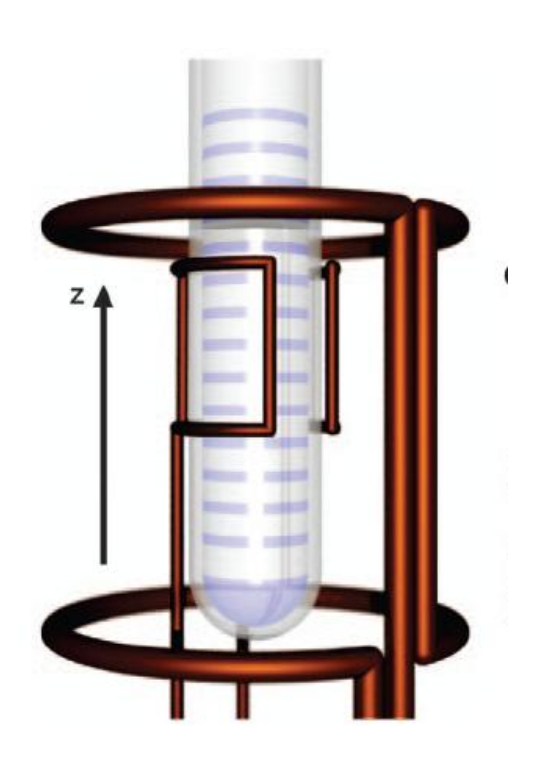
# > A quoi servent-elles?

- > Réduire le temps de l'expérience
  - Disperse l'aimantation résiduelle
  - Diminue le cyclage de phase
- > Mesurer le mouvement
  - Coefficient de diffusion ou flux
  - Les gradients permettent de coder l'information de déplacement
- > Réaliser des images
  - Codage spatial de l'information



### > Encore des bobines!

Gradient dans 1 (RMN) ou 3 (IRM) directions





# > Comment ça fonctionne?

> Impulsion de gradients entraine une dépendance spatiale linéaire de la fréquence de résonance

$$\omega(z) = -\gamma (B_0 + g.z)$$

- > Exploitation de cette dépendance pour extraire des informations de
  - Diffusion / Flux
  - Spatiale (image)



# > Quelques points de vigilance

- > Induction de courants de Foucault
  - \* Besoin d'un délai pour les disperser
  - Commutation « lente » des gradients
- > Besoin d'une forme « exacte »
  - Correction électronique (préemphasis)
- > Dissiper la chaleur
  - Avoir des délais importants
  - Gradients refroidis à l'eau



# INRAO



### > Console principale

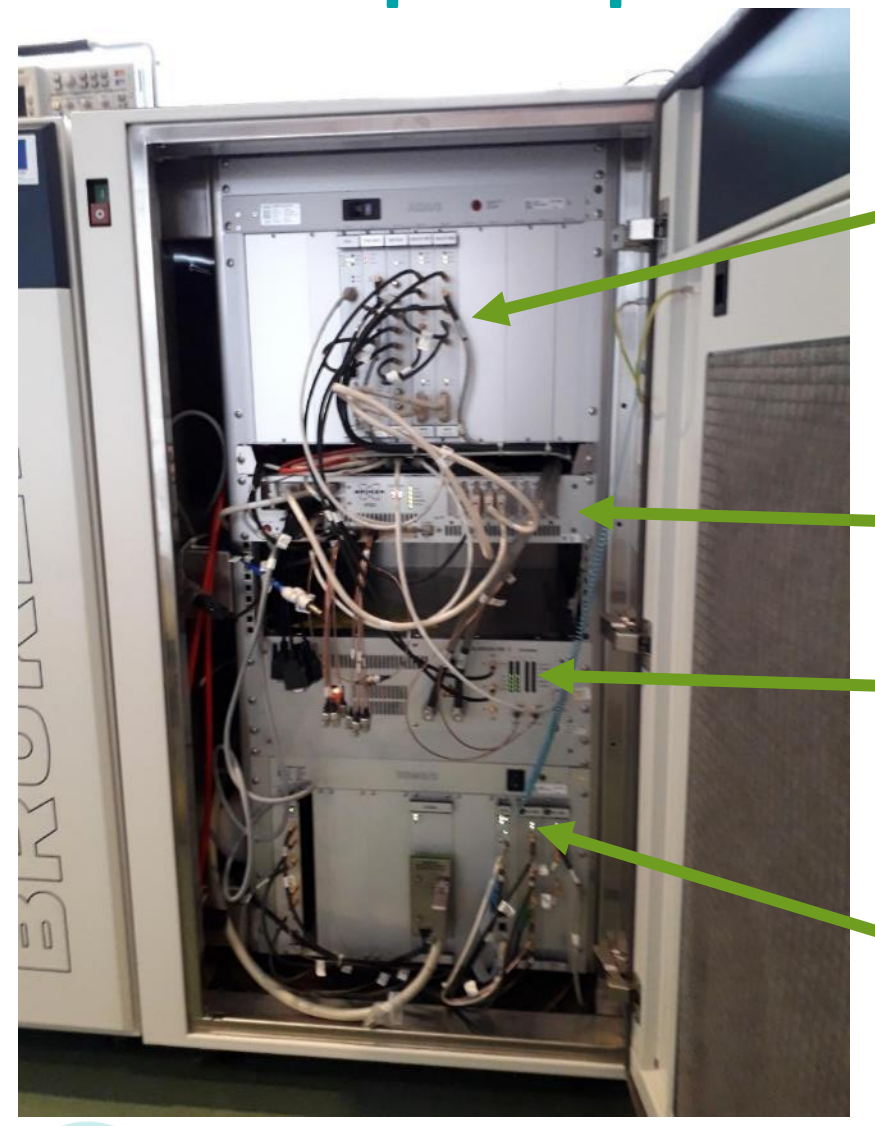


### > Gradients





> Les principaux organes



Génération du signal RF Réception du signal Contrôleur de temps, de fréquences

— « Ordinateur » de la console

- Amplificateurs radiofréquences

Gestion des shims, du lock, de la température, du lift, des niveaux de cryofluides (éventuellement des gradients)

# > Les principaux organes



Gestion de la vitesse de rotation d'un échantillon tournant à l'angle magique

# > Les principaux organes

Unité de correction de Bo.

Amplificateurs de gradients (1 ampli / axe, 60A)

Contrôleur des gradients



# Préamplificateur

- > Augmenter le signal de réception
- > Limiter le bruit



Signal: nV or pV

ADC



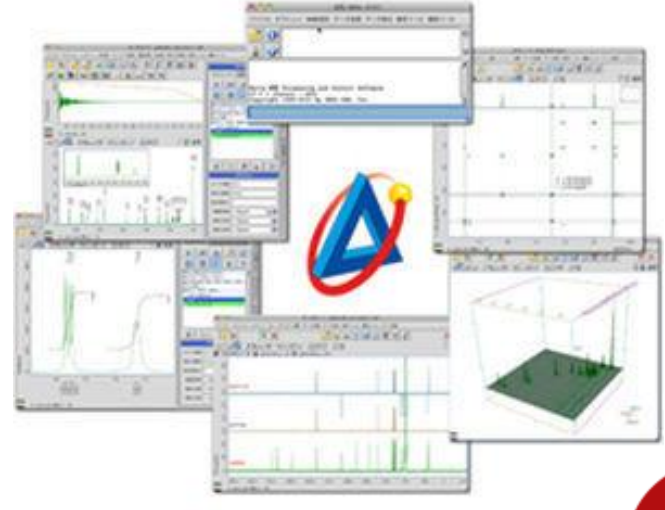
### INRAO

# > La station de travail

# > Le cœur du système

> Ordinateur avec le logiciel de pilotage











#### INRAO

> Acquisition d'un spectre RMN

# > Préparation de l'échantillon

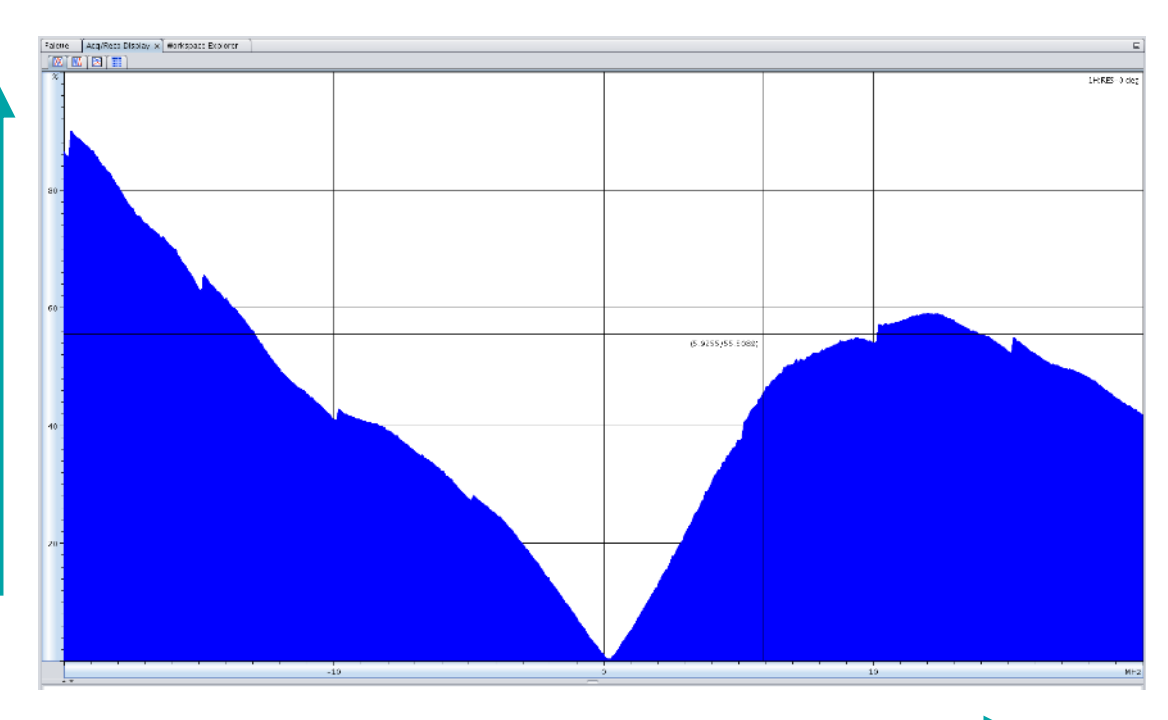
- > RMN liquide
  - Pas de suspension
  - $\Leftrightarrow$  Classiquement ~500  $\mu$ L (tube 5-mm)
- > Durée d'acquisition du signal
  - Temps raisonnable pour concentration d'environ 10 mM
- Besoin de limiter les signaux non désirés
  - Utilisation d'un solvant deutérié



#### > Accord de la sonde

- > Réglage de l'impédance de la sonde
  - Dépend de l'échantillon
  - De la dérive du champ







#### > Accord de la sonde

- > Réglage de l'impédance de la sonde
  - Dépend de l'échantillon
  - De la dérive du champ



Limite les puissances/durées des impulsions RF Maximise le signal



# > 'Locker' le spectromètre

- Suivi en temps réel des variations du champ magnétique
- Besoin d'un noyau différent de celui étudié
- Correction immédiate des différentes fréquences
- Participe à la bonne résolution spectrale de la RMN

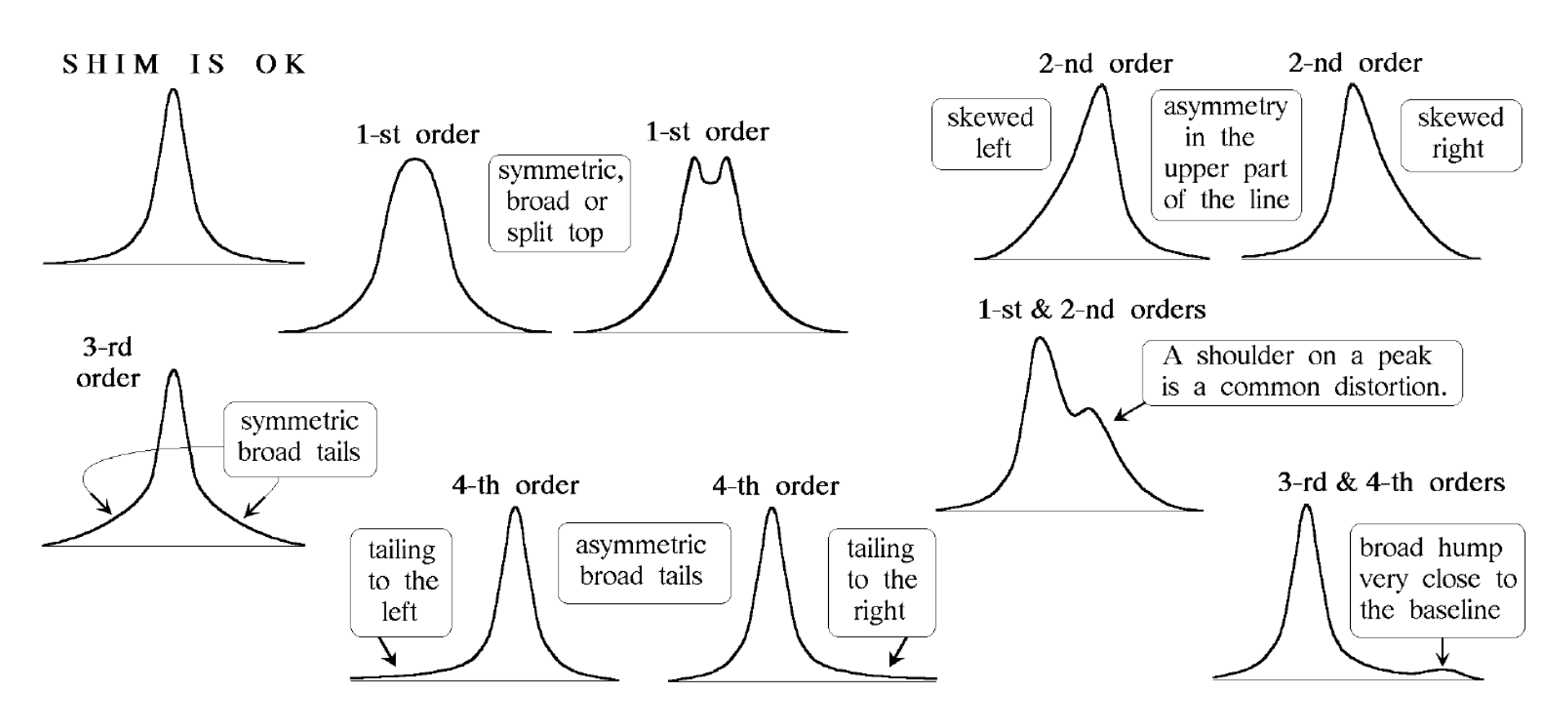


#### > Comment 'locker'

- Utilisation de solvant deutérié (<sup>1</sup>H => <sup>2</sup>H)
- Balayage en continu d'une gamme de fréquences où résonne le <sup>2</sup>H



# > Homogénéité du champ magnétique





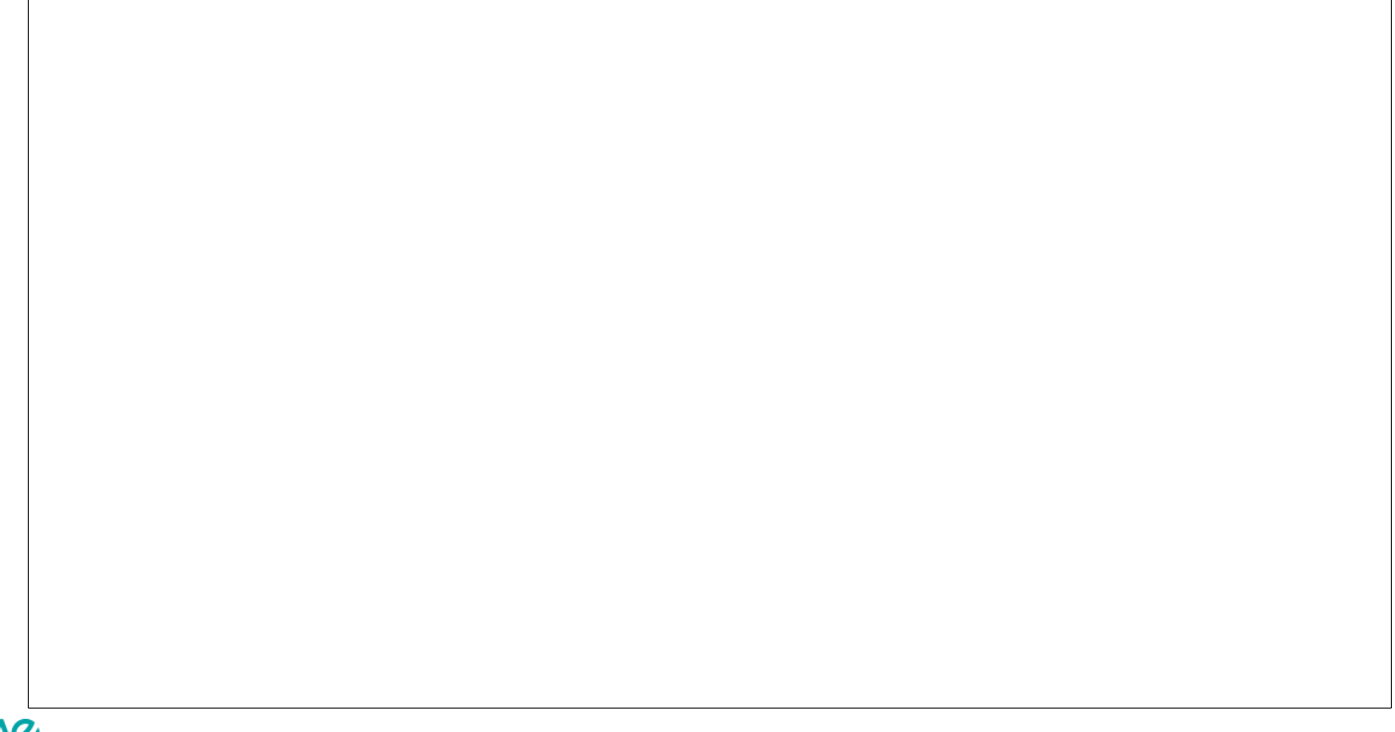
#### > 'Shimmer'

- > A la main
- > Automatiquement
  - ❖ A l'aide des gradients
  - En modifiant en continu la valeur des shims



# > Calibration de l'impulsion RF

> Trouver la durée/puissance pour atteindre l'angle de basculement souhaité





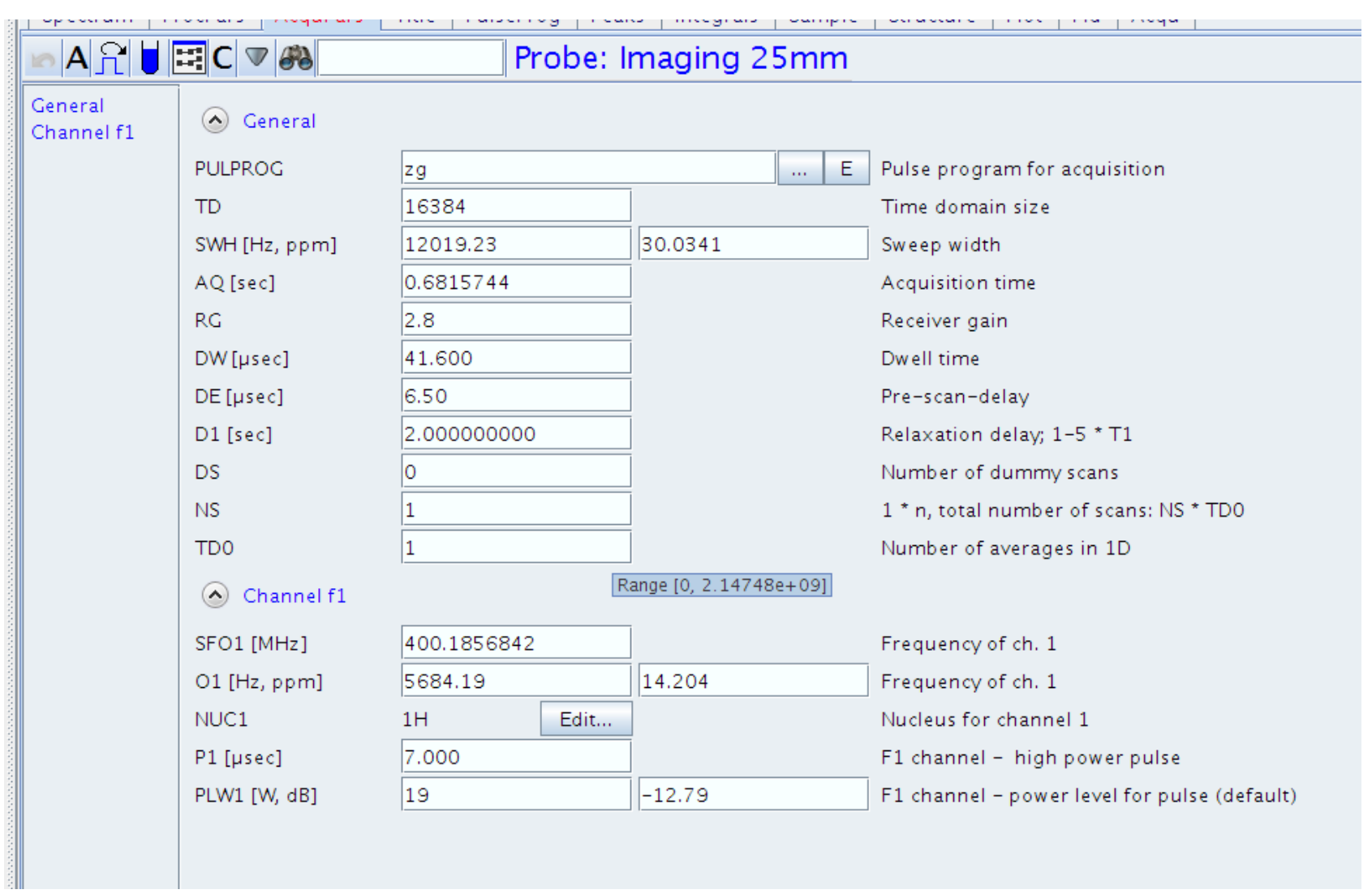
G. Pagés - 24/11/2020

# > Paramétrer l'expérience

- > Réglage des
  - Durées des impulsions & délais
  - \* Fréquences de résonance
  - Intensité des gradients
  - Paramètres d'acquisition du signal (bande passante, nombre de points,...)

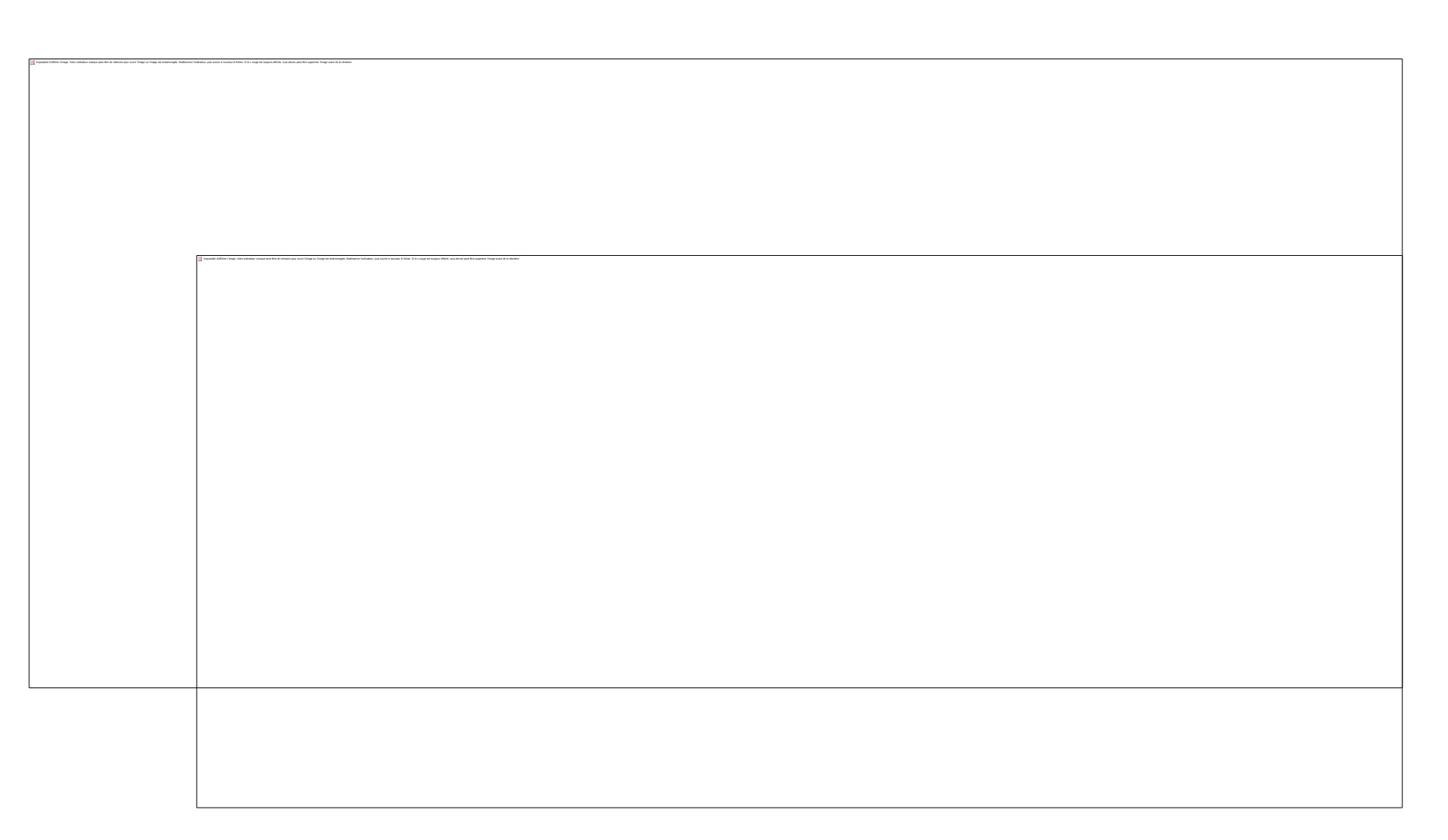


# > Paramétrer l'expérience





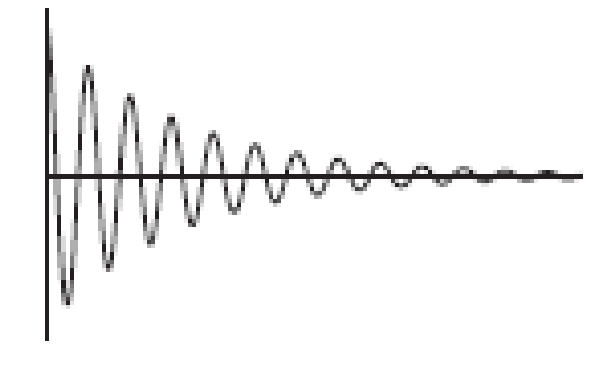
# > Acquisition du signal (FID)





# > Acquisition du signal RMN

> Eviter de tronquer le signal RMN

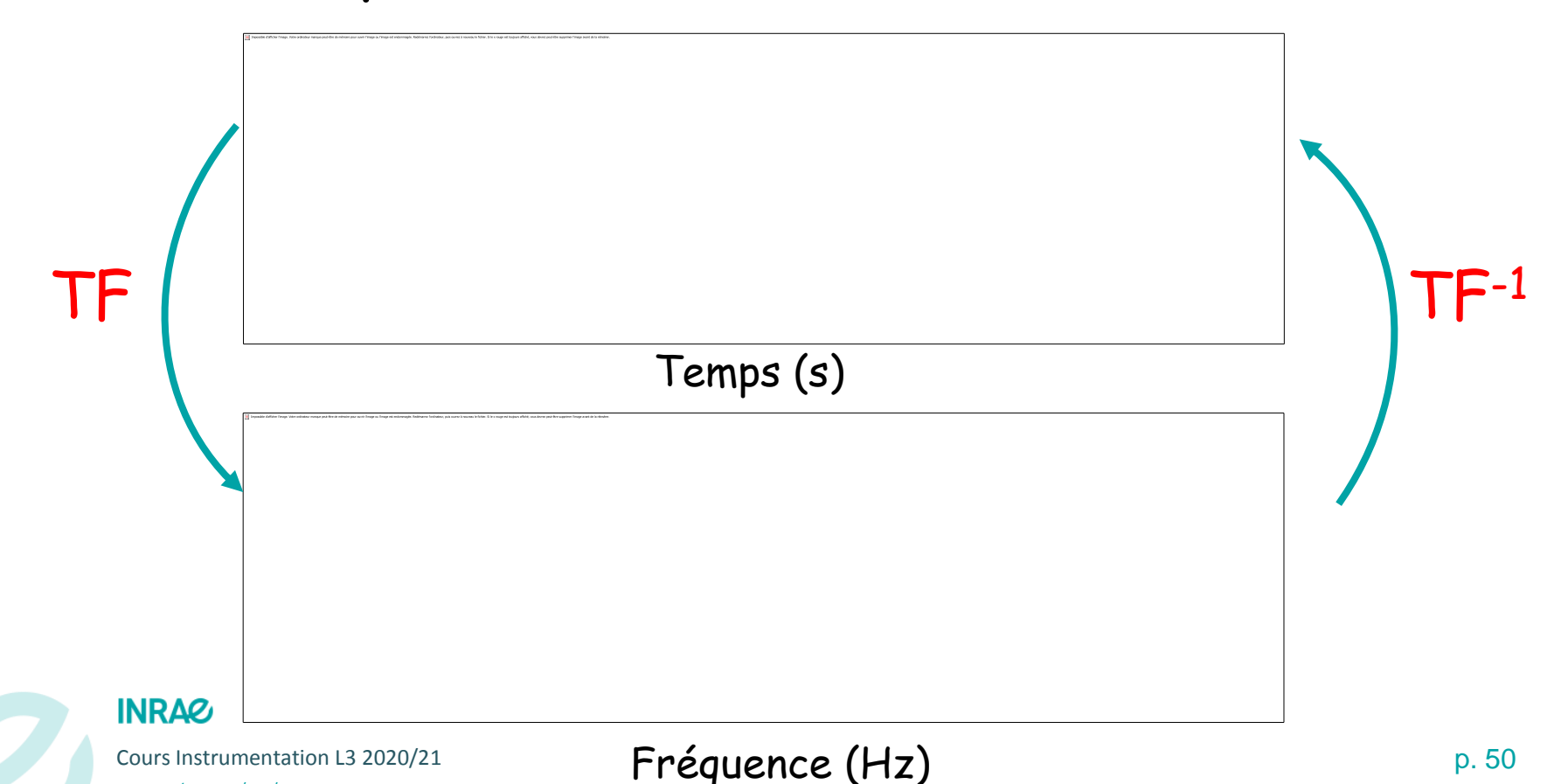




# > Obtention d'un spectre

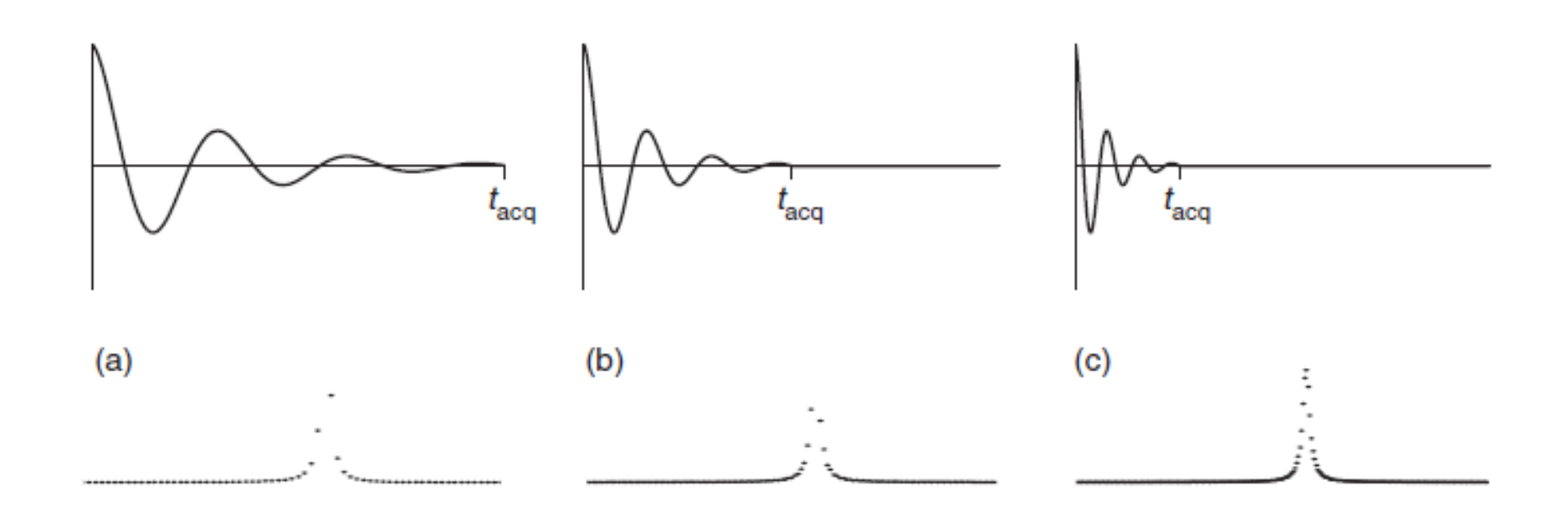
G. Pagés - 24/11/2020

- > Par Transformée de Fourier (TF)
  - Passe d'un espace temporel en un espace fréquentiel



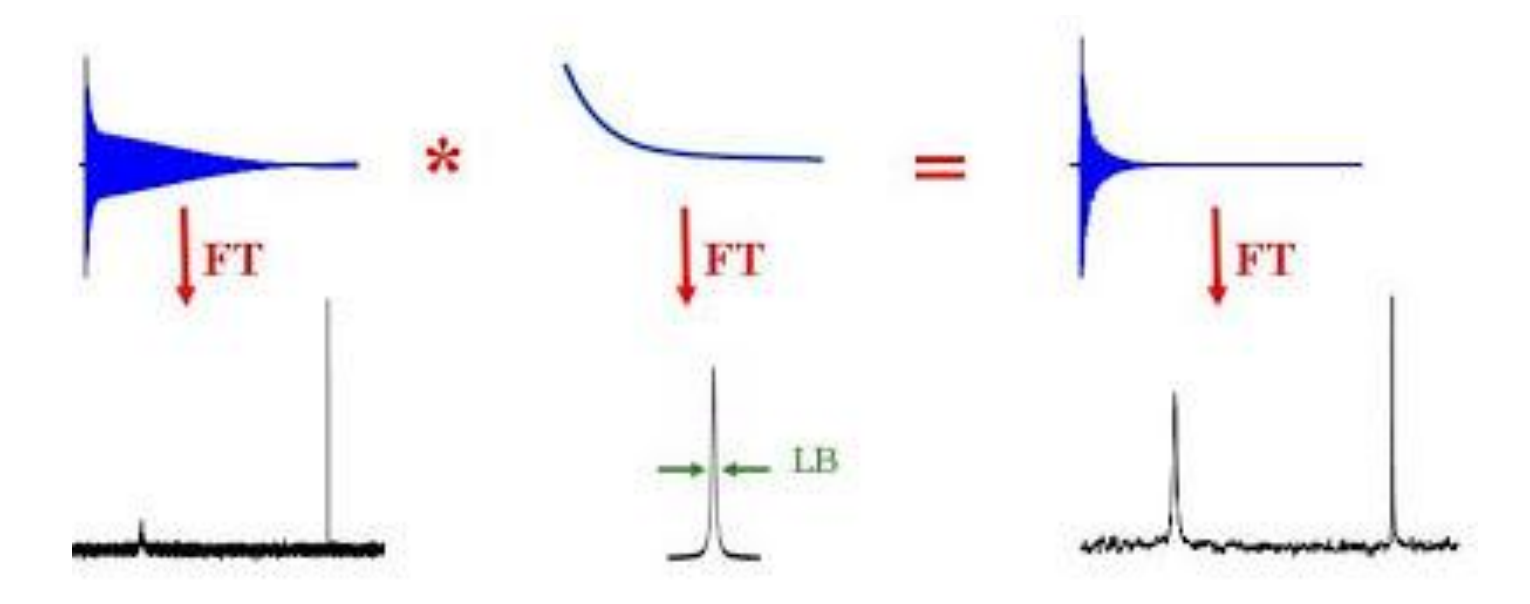
# > Traitement du spectre RMN (avant TF)

> Ajout de points (zero-filling)





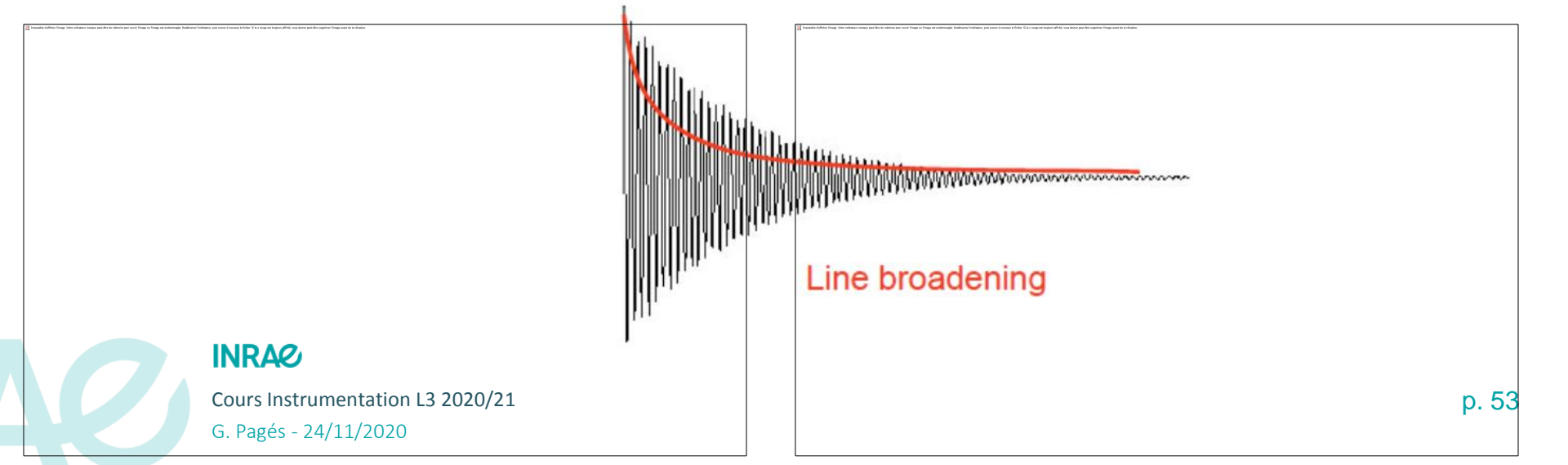
- > Traitement du spectre RMN (avant TF)
  - > Ajout de points (zero-filling)
  - Augmentation de la résolution (application de filtres)





- > Traitement du spectre RMN (avant TF)
  - > Ajout de points (zero-filling)
  - Augmentation de la résolution (application de filtres)
    - Ib: augmente SNR mais diminue résolution

0 Hz 3 Hz



- > Traitement du spectre RMN (avant TF)
  - > Ajout de points (zero-filling)
  - Augmentation de la résolution (application de filtres)
    - Ib: augmente SNR mais diminue résolution

gaussian: diminue SNR mais augmente résolution

Line broadening



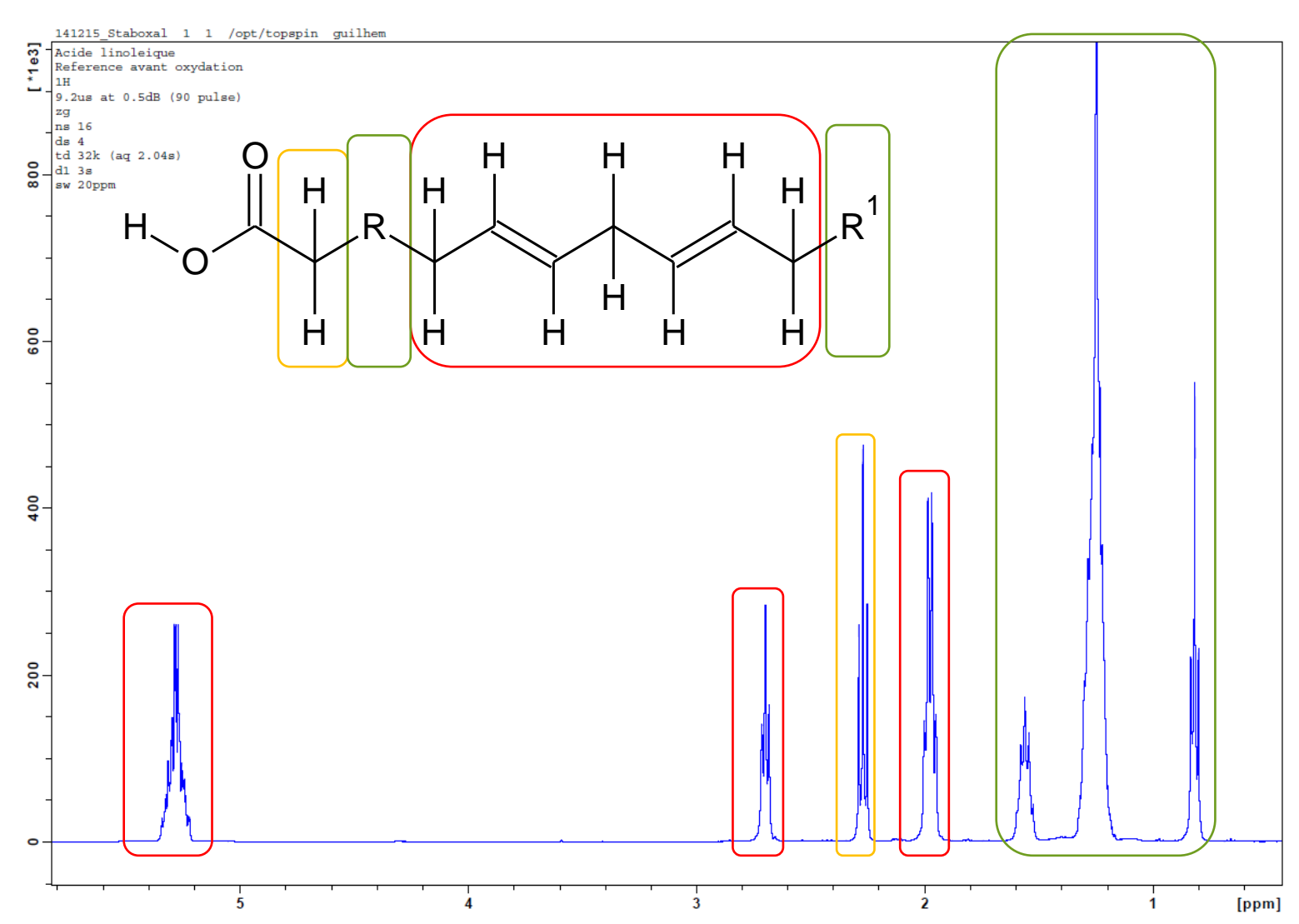
Sinebell

- > Traitement du spectre RMN (après TF)
  - > Correction de phase
  - > Ajustement de la ligne de base
  - > Calibration de l'échelle

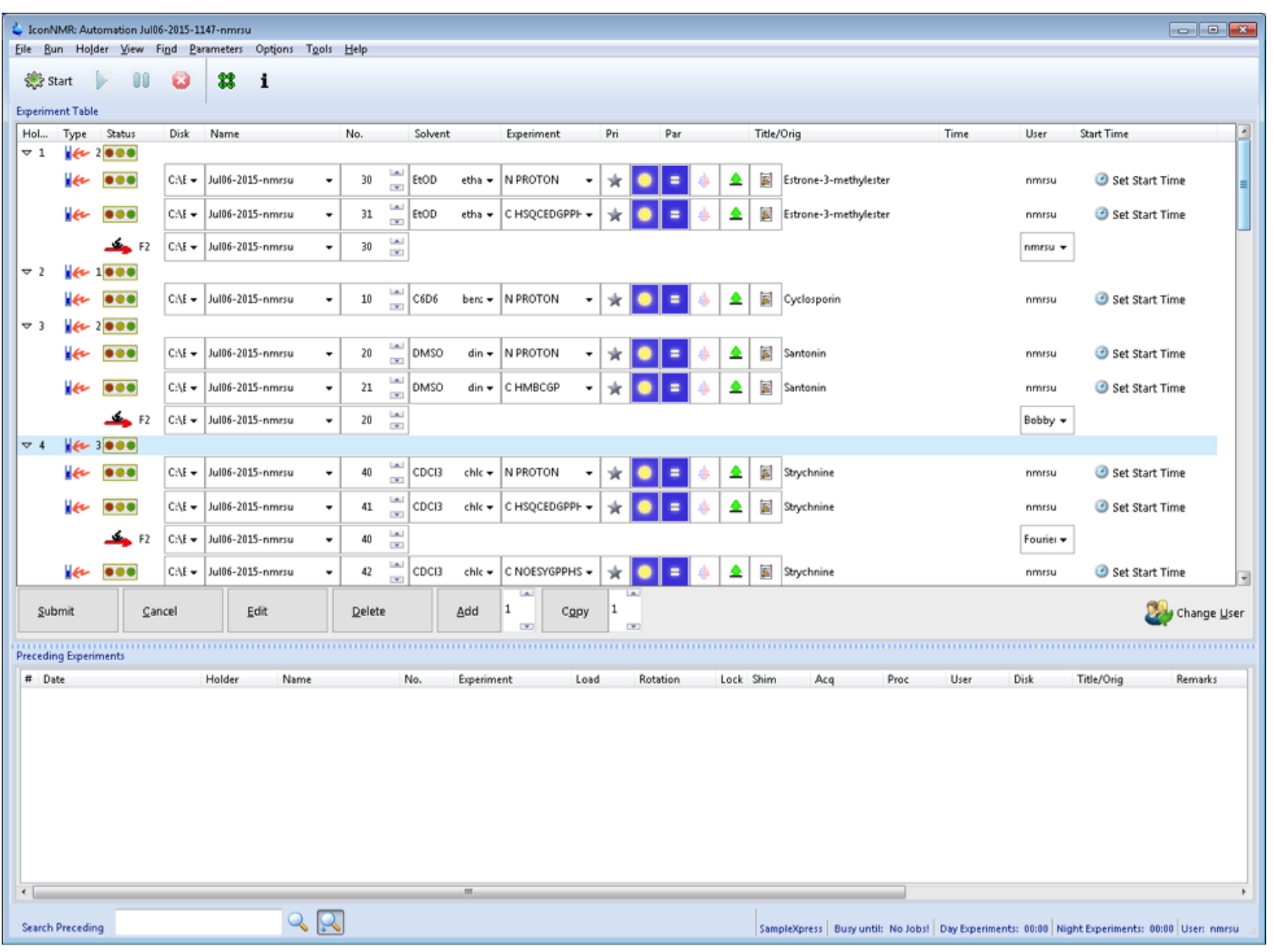




# > Spectre après traitement



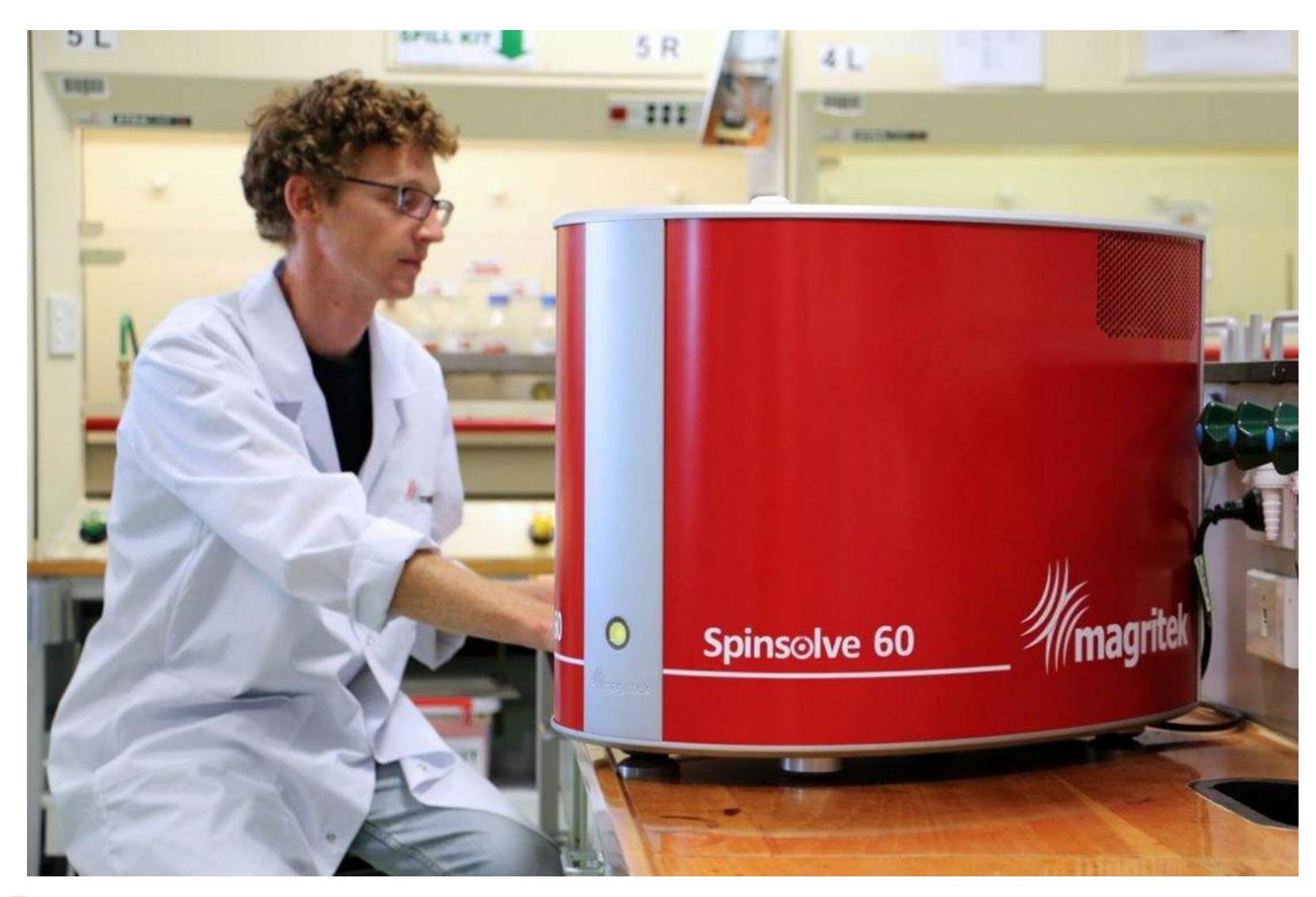




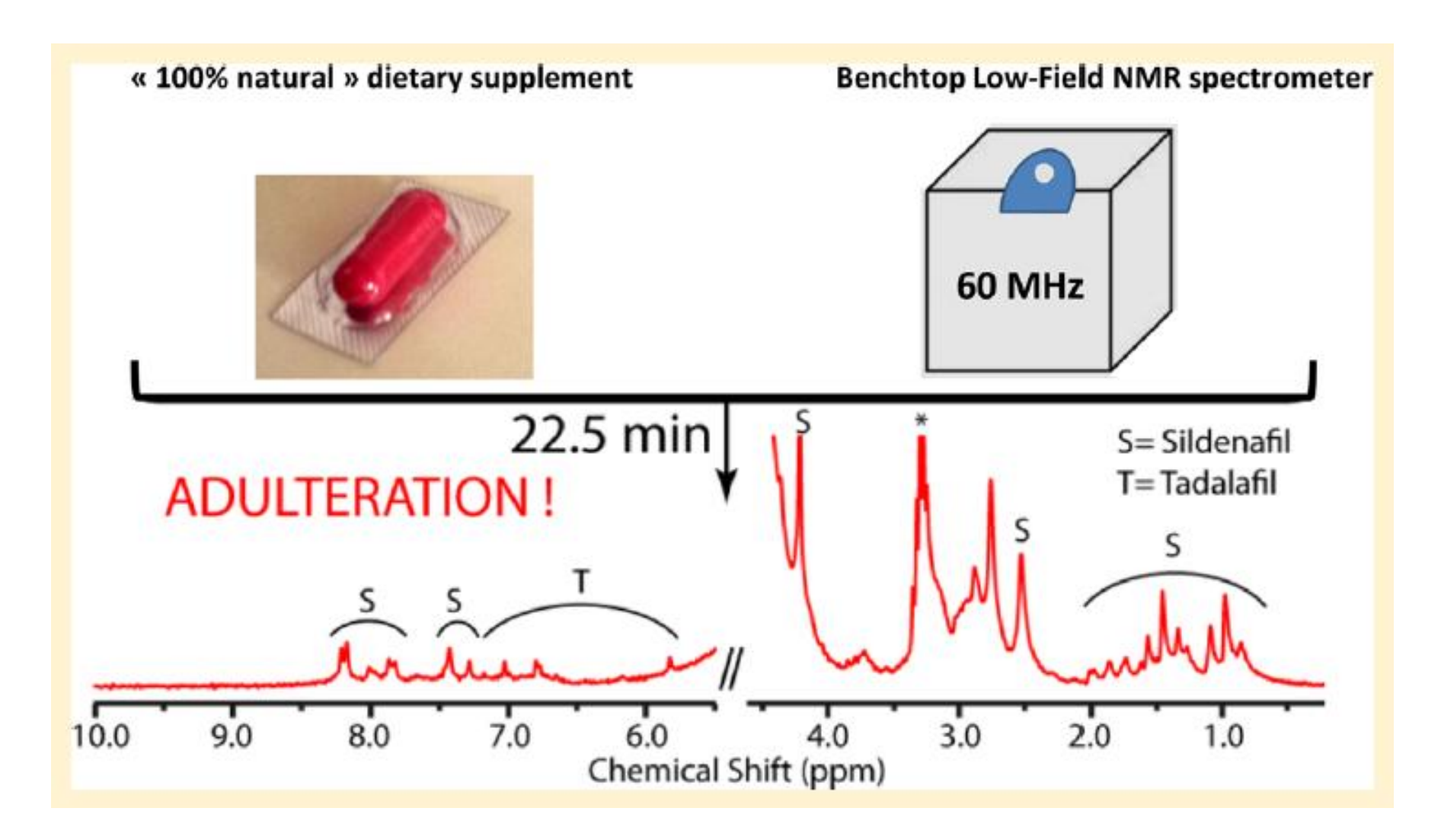
#### INRAO













#### INRAO

> Résumé: les points importants

#### > Le matériel

- > Au minimum
  - 1 aimant
  - 1 chaine RF pour exciter puis recevoir le signal
  - 1 sonde
- > En général
  - 1 système de gradients
  - Des bobines pour homogénéiser B<sub>0</sub>
  - 1 système pour verrouiller le champ
  - 1 système de régulation de T



- Le déroulé de l'expérience RMN
  - > Accorder la sonde
  - > Verrouiller le champ magnétique
  - > Homogénéiser le champ magnétique
  - Déterminer la durée/puissance de l'impulsion
  - > Régler les paramètres de l'expérience
  - Traiter le spectre RMN

#### INRAO

> Un peu de littérature: la RMN en pratique

Understanding NMR spectroscopy (J. Keeler; pdf gratuit sur Internet)

Blog de G. Facey (université d'Ottawa) http://u-of-o-nmr-facility.blogspot.com